

- (J). 中国药理学通报, 2003, 19(7): 727-731.
- (9) Meden A, Knez D, Jukic M, et al. Tryptophan-derived butyrylcholinesterase inhibitors as promising leads against Alzheimer's disease (J). Chem Commun (Camb), 2019, 55(26): 3765-3768.
- (10) Purgatorio R, De Candia M, Catto M, et al. Investigating 1,2,3,4,5,6-hexahydroazepino[4,3-b] indole as scaffold of butyrylcholinesterase-selective inhibitors with additional neuroprotective activities for Alzheimer's disease (J). Eur J Med Chem, 2019, 177(5): 414-424.
- (11) 刘佳莉, 苑玉和, 陈乃宏. 不同酶源乙酰胆碱酯酶的抑制剂筛选方法比较 (J). 神经药理学报, 2011, 1(3): 27-30.
- (12) 邓立刚, 李增梅, 郭长英, 等. 超高效液相色谱 - 串联质谱法测定蔬菜中 7 种氨基甲酸酯类农药残留 (J). 食品科学, 2011, 32(6): 221-223.
- (13) Scheyer O, Rahman A, Hristov H, et al. Female Sex and Alzheimer's Risk: The Menopause Connection (J). J Prev Alzheimers Dis, 2018, 5(4): 225-230.
- (14) Uddin MS, Rahman MM, Jakaria M, et al. Estrogen Signaling in Alzheimer's Disease: Molecular Insights and Therapeutic Targets for Alzheimer's Dementia (J). Mol Neurobiol, 2020, 57(6): 2654-2670.

〔文章编号〕 1007-0893(2021)12-0005-04

DOI: 10.16458/j.cnki.1007-0893.2021.12.002

LncRNA SNHG14 调控 miR-656-3p/SIRT5 通路加重肝癌侵袭和迁移

杨景波 李世通 孙大勇 江丹*

(深圳大学第一附属医院 深圳市第二人民医院, 广东 深圳 518035)

[摘要] 目的: 探讨长链非编码 RNA (lncRNA) 小核仁 RNA 宿主基因 14 (SNHG14) 对肝细胞癌 (HCC) 细胞侵袭和迁移的影响及机制。方法: 采用实时荧光定量聚合酶链式反应 (qRT-PCR) 检测肝癌细胞 SNHG14 和 miR-656-3p 的表达。与 sh-SNHG14, miR-656-3p 抑制剂, miR-656-3p 模拟物, pcDNA3.1-SIRT5 共转染后, 检测 HepG2 和 MHCC97H 细胞增殖、侵袭和迁移。然后用 qRT-PCR 测定 SNHG14、miR-656-3p 和 SIRT5 的表达水平, 荧光素酶报告基因检测和 RNA 下调 SNHG14 与 miR-656-3p 之间的关系, 以及 miR-656-3p 与 SIRT5 之间的关系。结果: HCC 细胞中 SNHG14 表达上调, miR-656-3p 表达下调。抑制 SNHG14 和 miR-656-3p 过表达, 可抑制 HepG2 和 MHCC97H 细胞增殖, 侵袭和迁移。SNHG14 直接作用于 miR-656-3p, SIRT5 是 miR-656-3p 的靶基因。miR-656-3p 抑制剂或 pcDNA3.1-SIRT5 可逆转 sh-SNHG14 对肝癌细胞增殖、侵袭和迁移的抑制作用。结论: SNHG14 通过调节 miR-656-3p/SIRT5 轴促进肝癌细胞的侵袭和迁移。

〔关键词〕 肝细胞癌; 小核仁 RNA 宿主基因 14; miR-656-3p/SIRT5 轴

〔中图分类号〕 R 735.7 〔文献标识码〕 A

LncRNA SNHG14 Regulates miR-6-3p/SIRT5 Pathway to Aggravate Liver Cancer Invasion and Migration

YANG Jing-bo, LI Shi-tong, SUN Da-yong, JIANG Dan*

(The First Affiliated Hospital of Shenzhen University, The Second People's Hospital of Shenzhen, Guangdong Shenzhen 518035)

(Abstract) Objective To investigate the effect and mechanism of long non-coding RNA (lncRNA) small nucleolar RNA host gene 14 (SNHG14) on the invasion and migration of hepatocellular carcinoma (HCC) cells. Methods Real-time fluorescent quantitative polymerase chain reaction (qRT-PCR) was used to detect the expression of SNHG14 and miR-656-3p in liver cancer cells. After co-transfection with sh-SNHG14, miR-656-3p inhibitor, miR-656-3p mimic, and pcDNA3.1-SIRT5, the proliferation, invasion and migration of HepG2 and MHCC97H cells were detected. Then qRT-PCR was used to determine the expression levels of SNHG14, miR-656-3p and SIRT5, luciferase reporter gene detection and RNA down-regulation between SNHG14 and miR-656-3p, and between miR-656-3p and SIRT5 Relationship. Results The expression of SNHG14 was up-regulated in HCC cells,

〔收稿日期〕 2021-04-20

〔作者简介〕 杨景波, 男, 主治医师, 主要研究方向是慢性消化系统疾病的免疫分子机制。

〔※通信作者〕 江丹 (E-mail: 361149368@qq.com; Tel: 13926134520)

and the expression of miR-656-3p was down-regulated. Inhibiting the overexpression of SNHG14 and miR-656-3p can inhibit the proliferation, invasion and migration of HepG2 and MHCC97H cells. SNHG14 acts directly on miR-656-3p, and SIRT5 is the target gene of miR-656-3p. miR-656-3p inhibitor or pcDNA3.1-SIRT5 can reverse the inhibitory effects of sh-SNHG14 on the proliferation, invasion and migration of liver cancer cells. Conclusion SNHG14 promotes the invasion and migration of liver cancer cells by regulating the miR-656-3p/SIRT5 axis.

(Key Words) Hepatocellular carcinoma, Small nucleolar RNA host gene 14, miR-656-3p/SIRT5 axis

肝细胞癌(hepatocellular carcinoma, HCC)作为肝脏的原发肿瘤，其晚期预后较差，中位生存时间不足1年，5年生存率仅为7%^[1]。过度饮酒、肝炎病毒感染、遗传疾病、代谢综合征等均可诱发HCC^[2]，但其具体机制尚需进一步研究。因此，需要深入研究HCC的发生和发展机制，寻找改善预后和新致癌基因。

长链非编码RNA(long noncoding RNA, lncRNA)，即碱基对超过200且缺乏明显开放阅读框的RNA，在细胞分化、增殖、迁移和侵袭等多个细胞过程中发挥作用^[3-4]。小核仁RNA宿主基因14(small nucleolar RNA host gene 14, SNHG14)是一种能够促进结直肠癌、非小细胞肺癌、胃癌等多种人类癌症的起始和进展的lncRNA^[5-7]。

通过检测SNHG14在HCC细胞中的表达，笔者发现SNHG14在HCC中表达上调，提示其可能与HCC的进展有关。双荧光素酶报告基因检测发现miR-656-3p可以同时与SNHG14和SIRT5结合。因此，笔者推测SNHG14通过miR-656-3p/SIRT5轴的相互作用来调控肝癌细胞的迁移和侵袭。对此，笔者的研究数据表明，SNHG14作为ceRNAs以miR-656-3p依赖的方式调控SIRT5的表达。本研究分析了SNHG14对肝癌侵袭和迁移的作用及机制，旨在从基因的角度寻找新的治疗靶点。

1 材料与方法

1.1 细胞培养

人HCC细胞HepG2、Hep3B、MHCC97H、Huh7以及人正常肝胚细胞LO2购于中国典型培养物保藏中心(中国上海)，所有细胞均采用含10%胎牛血清和1%青链霉素的DMEM高糖培养基(Gibco, USA)，并置于37℃、5%CO₂和95%湿度的恒温培养箱中培养。取对数生长期细胞用于实验。

1.2 细胞转染与分组

取对数生长期的HepG2和MHCC97H细胞，接种于普通6孔培养板中($2 \times 10^5 \cdot \text{孔}^{-1}$)，24 h后，转染sh-SNHG14(终浓度为100 nmol·L⁻¹)、miR-656-3p inhibitor(终浓度为100 nmol·L⁻¹)、miR-656-3p mimic(终浓度为100 nmol·L⁻¹)、pcDNA3.1-SIRT5(2 μg)或其相应的阴性对照质粒(吉凯基因，中国上海)，分别命名为sh-SNHG14组、sh-NC组、miR-656-3p inhibitor组、inhibitor-NC组、miR-656-3p mimic组、mimic-NC组、pcDNA3.1-SIRT5组、pcDNA3.1-NC组；或共转染sh-SNHG14和miR-656-3p

inhibitor或pcDNA3.1-SIRT5，命名为sh-SNHG14+miR-656-3p inhibitor组、sh-SNHG14+pcDNA3.1-SIRT5组以及sh-NC+inhibitor-NC组。采用lipfectamine 2000转染试剂盒(Invitrogen, USA)进行转染，所有转染操作均严格按照lipfectamine 2000转染说明书进行。

1.3 CCK8实验

采用CCK8试剂盒(Dojindo Molecular Technologies, Inc., Japan)评估HepG2和MHCC97H细胞的生长。将转染后的细胞($5 \times 10^3 \text{ 细胞} \cdot \text{孔}^{-1}$)接种在96孔板中，分别孵育24、48、72、96 h后，向每个孔中加入CCK8试剂孵育2 h。选择450 nm波长，采用多功能酶标仪(Biotek, USA)测定各孔吸光度值，记录结果。

1.4 平皿集落形成实验

取处于对数生长期转染后的HepG2和MHCC97H细胞，在1000个细胞·mL⁻¹的完全培养基中成为单细胞悬液，然后接种至24孔培养板中连续培养3周。之后，使用4%多聚甲醛将细胞固定15 min，采用GIMSA溶液染色15 min，在纤维镜下随机选取5个视野计数。集落形成率=(克隆数/接种细胞数)×100%。

1.5 Transwell侵袭实验

对于细胞侵袭能力测定，HepG2或MHCC97H细胞用不含血清或生长因子的培养基重悬($1 \times 10^6 \text{ 个细胞} \cdot \text{mL}^{-1}$)，取200 μL细胞悬液接种到包被有Matrigel小室的上室(孔径：8 μm；Corning Costar, USA)，小室加入600 μL含10%胎牛血清的DMEM完全培养基。之后将继续细胞培养24 h，用棉签除去上室的细胞，4%多聚甲醛固定膜下表面上的细胞，结晶紫染色30 min。在光学显微镜下(10×，每孔5个随机视野)计数侵入膜的细胞数。细胞侵袭率=(侵袭的细胞/接种细胞数)×100%。

1.6 伤口愈合实验

取处于对数生长期转染后的HepG2和MHCC97H细胞，接种于普通6孔培养板中($2 \times 10^5 \cdot \text{孔}^{-1}$)中。待细胞融合率达到80%时，用1个新的100 μL移液管尖端垂直缓慢刮擦细胞层，之后用PBS洗涤2次，采用无血清DMEM高糖培养基继续培养。分别于0 h和24 h在倒置显微镜下观察细胞迁移，并拍照记录。细胞迁移率=((0 h伤痕的距离-24 h伤痕的距离)/0 h伤痕的距离)×100%。

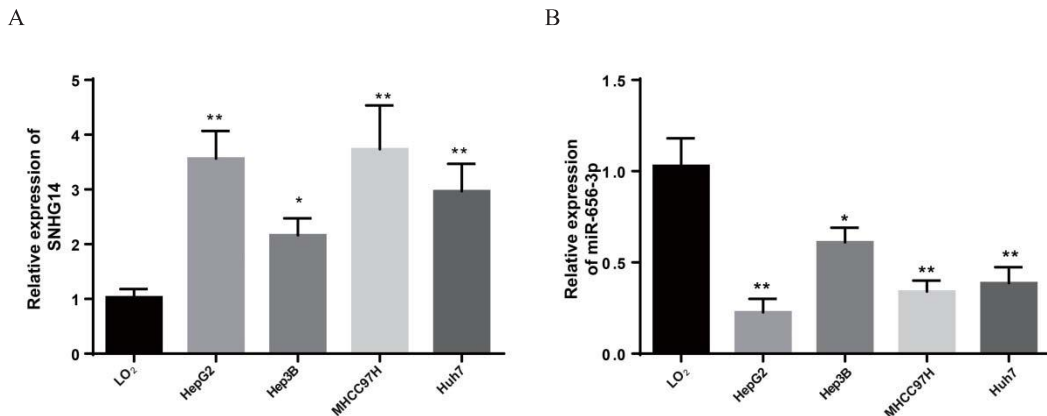
1.7 实时荧光定量聚合酶链式反应实验

实验使用TRIzol Reagent(Life Technologies)提取总RNA，并用多功能酶标仪(Biotek Synergy 2)检测RNA浓

度及纯度。在聚合酶链式反应 (polymerase chain reaction, PCR) 扩增仪进行逆转录反应合成 cDNA 模版, 应用荧光定量 PCR 分析仪 (美国伯乐, CFX Connect) 进行实时荧光定量聚合酶链式反应 (quantitative real-time polymerase chain reaction, qRT-PCR) 实验, 甘油醛-3-磷酸脱氢酶 (GAPDH) 和 U6 分别用作内部对照以标准化 mRNA 和 miRNA 的表达。反应条件为 95 °C 预变性 10 min, 95 °C 变性 10 s, 60 °C 退火 20 s, 72 °C 延伸 34 s, 40 个循环。数据分析采用 $2^{-\Delta\Delta Ct}$ 法进行分析, 公式如下: $\Delta Ct = (Ct(\text{目的基因}) - Ct(\text{内参基因}))_{\text{实验组}} - (Ct(\text{目的基因}) - Ct(\text{内参基因}))_{\text{对照组}}$ 。各基因及其引物的扩增序列详见表 1。

表 1 引物序列

引物名称	序列
miR-656-3p-F	GAATCGTCGTATCCAGTGC
miR-656-3p-R	CGTATCCAGTGCCTGTC
SNHG14-F	GGGTGTTTACGTAGACCAGAAC
SNHG14-R	CTTCCAAAAGCCTCTGCCTTA
U6-F	CTCGCTTCGGCAGCACATACT
U6-R	ACGCTTCACGAATTGCGTGT
SIRT5-F	GTCATCACCCAGAACAT CGA
SIRT5-R	ACGTGAGGTCGCAGCAGCAAG
GAPDH-F	GTCGATGGCTAGTCGTAGCATCG
GAPDH-R	TGCTAGCTGGCATGCCCGATCG



A: HCC 细胞系 HepG2、Hep3B、MHCC97H、Huh7 和 LO2 中 SNHG14 的表达; B: HCC 细胞系 HepG2、Hep3B、MHCC97H、Huh7 和 LO2 中 miR-656-3p 的表达。与 LO2 组比较, * $P < 0.05$ 表示; 与 LO2 组比较, ** $P < 0.01$ 表示。

图 1 HCC 细胞中 SNHG14 和 miR-656-3p 的表达

2.2 敲低 lncRNA SNHG14 抑制 HCC 细胞增殖、侵袭和迁移能力

为研究 lncRNA SNHG14 对 HCC 发生发展的影响, 笔者在体外检测了 sh-SNHG14 或 sh-NC 转染后 HepG2 和 MHCC97H 细胞的增殖能力。qRT-PCR 对转染效率检测发现, 与 sh-NC 转染相比, sh-SNHG14 转染后 HepG2 (插页五图 2A, $P < 0.01$) 和 MHCC97H 细胞 (插页五图 2B, $P < 0.01$) 中 lncRNA SNHG14 表达水平比 sh-NC 转染组明显降低。平皿集落形成和 CCK8 实验结果表明, 与 sh-NC 转染相比, sh-SNHG14 转染显著抑制 HepG2 细胞和

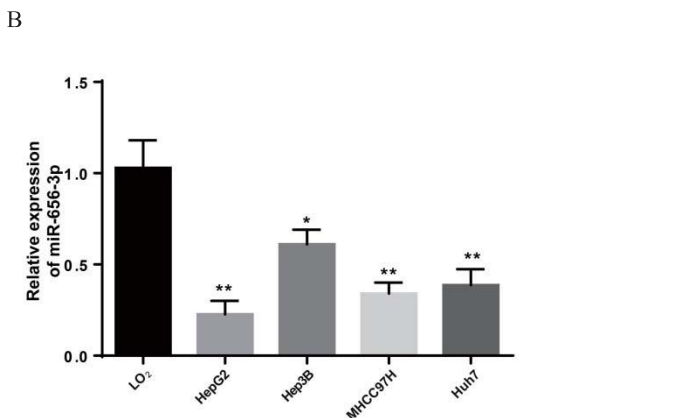
1.8 统计学分析

将 GraphPad Prism 6.0 (GraphPad Software, Inc., La Jolla, CA) 用于统计分析。所有实验数据均来自于 3 个独立实验结果, 以 $\bar{x} \pm s$ 表示。两组之间的比较采用 t 检验, 多组之间的比较采用单因素方差分析, $P < 0.05$ 为差异具有统计学意义。

2 结果

2.1 HCC 细胞中 lncRNA SNHG14 和 miRNA-656-3p 的表达

为检测 lncRNA SNHG14 和 miRNA-656-3p 是否对 HCC 的发生发展有关键作用, 笔者首先比较了 HCC HepG2、Hep3B、MHCC97H、以及 Huh7 细胞系和正常肝胚细胞 LO2 中 lncRNA SNHG14 和 miRNA-656-3p 的表达。如图 1A 所示, 与肝胚细胞 LO2 细胞系相比, HepG2、Hep3B、MHCC97H、以及 Huh7 细胞系中 lncRNA SNHG14 的表达水平明显上调 (图 1A, $P < 0.05$), 而 miRNA-656-3p 在 HepG2、Hep3B、MHCC97H、以及 Huh7 细胞中的表达明显低于 LO2 细胞。提示 lncRNA SNHG14 和 miRNA-656-3p 可能参与了 HCC 的发生。



MHCC97H 细胞的增殖能力 (插页五图 2C~G, $P < 0.01$)。与 sh-NC 组相比, sh-SNHG14 组 HepG2 细胞的侵袭和迁移能力明显降低 (插页五图 2H 和 K, $P < 0.01$)。同样的, 笔者发现 sh-SNHG14 组 MHCC97H 侵袭以及迁移能力明显低于 sh-NC 组 (插页五图 2H 和 L, $P < 0.01$)。提示敲低 lncRNA SNHG14 对 HCC HepG2 和 MHCC97H 细胞系的增殖、侵袭以及迁移能力具有抑制作用。

2.3 miR-656-3p 对 HCC 细胞增殖、侵袭、迁移的影响

为了阐明 miR-656-3p 是否可抑制 HCC 细胞的增殖、侵袭和迁移, 笔者利用 miR-656-3p mimic、miR-656-3p

inhibitor 以及其相应的阴性对照分别转染 HepG2 和 MHCC97H 细胞。如插页六图 3A 和 B 所示, miR-656-3p inhibitor 显著降低 HepG2 或 MHCC97H 细胞中 miR-656-3p 的表达(插页六图 3A 和 3B, $P < 0.01$) , 而 miR-656-3p mimic 转染后 HepG2 或 MHCC97H 细胞中 miR-656-3p 的表达显著高于 mimic-NC 转染组(插页六图 3A 和 B, $P < 0.01$)。与 mimic NC 组相比, miR-656-3p mimic 组可显著抑制 HepG2 细胞的增殖(插页六图 3C, $P < 0.01$)、侵袭(插页六图 3E, $P < 0.01$)和迁移能力(插页六图 3F, $P < 0.01$) ; 而 miR-656-3p inhibitor 转染后 HepG2 细胞的增殖、侵袭和迁移能力明显高于 inhibitor-NC 转染组。相似的,在 MHCC97H 细胞中也得到了相似的结论(插页六图 3D、E 和 G)。提示 miR-656-3p 可调节 HCC 细胞增殖、侵袭和迁移。

3 讨 论

目前治疗 HCC 最有效的方法是肝移植,但肝移植后复发和不良事件频繁发生。更好地了解肝癌的进展是推进肝癌治疗策略的必要条件^[8]。因此,本研究检测了 SNHG14 /miR-656-3p/SIRT5 轴在 HCC 细胞中的表达模式。笔者的数据结果显示,SNHG14 可以通过调控 miR-656-3p/SIRT5 轴来增强肝癌细胞的侵袭和迁移。

HCC 的主要危险因素包括乙型或丙型肝炎病毒感染、酒精性肝硬化、非酒精性脂肪性肝炎和吸烟,在大多数国家,其死亡率与发病率相当。为了寻找可能的肝癌治疗策略,最近的研究强调了 lncRNAs 由于其调控基因转录的功能而对肝癌的起始和进展的影响。lncRNA MCM3AP-AS1 被发现在 HCC 中增加,并促进了 HCC 的起始和发展^[9]。肝癌细胞中 SNHG7 表达上调可通过调控 miR-122-5p 和 RPL4^[10] 促进肝癌的发展。据报道,SNHG14 是一种致癌基因,与多种癌症的肿瘤进展有关。例如,SNHG14 在患者胰腺组织中表达上调,SNHG14 的高表达增强了胰腺癌细胞的增殖、生长和侵袭^[11]。在本研究中,SNHG14 在 HCC 细胞中的表达明显增加。过表达 SNHG14 可恶化肝癌的发展,而抑制 SNHG14 可抑制肝癌细胞的增殖、侵袭和迁移。因此,笔者证实了 SNHG14 作为 HCC 的致癌基因会加剧细胞的增殖、侵袭和迁移。miR-656 作为一种肿瘤抑制因子,被报道可以抑制胶质瘤细胞的增殖、迁移、侵袭和体内肿瘤生长^[12]。本研究中,miR-656-3p 过表达可显著抑制肝癌细胞的增殖、侵袭和迁移,而 miR-656-3p 下调则加重了肝癌的进展。

本研究的局限性在于研究对象的规模有限。本研究仅在细胞背景下探讨 SNHG14 对肝癌侵袭和迁移的影响及机制。在以后的研究中,笔者将进一步鉴定动物背景下的研究结果。

基于本研究的数据,笔者得出结论,SNHG14 可以通过抑制 miR-656-3p/SIRT5 轴来增强肝癌细胞的侵袭和迁移。本研究可能为 HCC 的治疗提供一种新的基因组策略。

〔参考文献〕

- (1) Sayiner M, Golabi P, Younossi ZM. Disease burden of hepatocellular carcinoma:a global perspective (J) . Dig Dis Sci, 2019, 64(4): 910-917.
- (2) Pu J, Wang J, Wei H, et al. lncRNA MAGI2-AS3 prevents the development of HCC via recruiting KDM1A and promoting H3K4me2 demethylation of the RACGAP1 promoter (J) . Mol Ther Nucleic Acids, 2019, 18(8): 351-362.
- (3) Wu D, Xue WN, Li X, et al. Long noncoding RNA SNHG14 facilitates colorectal cancer metastasis through targeting EZH2-regulated EPHA7 (J) . Cell Death Dis, 2019, 10(7): 514.
- (4) NG SY, Lin L, Soh BS, et al. Long noncoding RNAs in development and disease of the central nervous system (J) . Trends Genet, 2019, 29(8): 461-468.
- (5) Jiao P, Hou J, Yao M, et al. SNHG14 silencing suppresses the progression and promotes cisplatin sensitivity in non-small cell lung cancer (J) . Biomed Pharmacother, 2019, 117(9): 109-164.
- (6) Liu Z, Yan Y, Cao S, et al. Long non-coding RNA SNHG14 contributes to gastric cancer development through targeting miR-145/SOX9 axis (J) . J Cell Biochem, 2018, 119(8): 6905-6913.
- (7) Ye T, Zhang N, Wu W, et al. SNHG14 promotes the tumorigenesis and metastasis of colorectal cancer through miR-32-5p/SKIL axis (J) . Vitro Cell Dev Biol Anim, 2019, 55(10): 106-108.
- (8) Schlachterman A, Craft WW, Hilgenfeldt E, et al. Current and future treatments for hepatocellular carcinoma (J) . World J Gastroenterol, 2015, 21(28): 8478-8491.
- (9) Wang Y, Yang L, Chen T, et al. A novel lncRNA MCM3APAS1 promotes the growth of hepatocellular carcinoma by targeting miR-194-5p/FOXA1 axis (J) . Mol Cancer, 2019, 18(1): 28.
- (10) Yang X, Sun L, Wang L, et al. LncRNA SNHG7 accelerates the proliferation,migration and invasion of hepatocellular carcinoma cells via regulating miR-122-5p and RPL4 (J) . Biomed Pharmacother, 2019, 118(10): 109386.
- (11) Deng PC, Chen WB, Cai HH, et al. LncRNA SNHG14 potentiates pancreatic cancer progression via modulation of annexin A2 expression by acting as a competing endogenous RNA for miR-613 (J) . J Cell Mol Med, 2019, 14(8): 76-80.
- (12) Larkfors L, Ebendal T, Whittemore SR, et al. Decreased level of nerve growth factor (NGF) and its messenger RNA in the aged rat brain (J) . Brain Res, 1987, 427(14): 55-60.